

Математички факултет
Универзитет у Београду

Примјена пројективне
геометрије на отклањање
дисторзије на фотографијама

Мастер рад

Студент
Јелена Дробњак

Београд,
2019.

Садржај

1 Аберације на фотографијама	3
1.1 Пројективна дисторзија	4
2 Централна пројекција као модел фотоапарата	5
3 Геометрија пројективне равни	8
3.1 Хомогене координате	8
3.2 Проширила афина раван	11
3.3 Скуп правих и равни у еуклидском простору	13
3.4 Аксиоматски приступ	13
4 Пројективна пресликавања равни	14
5 Афина пресликавања	16
6 Алгоритми за одређивање пројективног пресликавања	17
6.1 Наивни алгоритам	17
6.2 <i>DLT</i> алгоритам	18
6.2.1 <i>SVD</i> декомпозиција матрице	19
6.2.2 Алгоритам	21
6.2.3 Алгебарска и геометријска грешка	21
6.2.4 Нормализовани <i>DLT</i> алгоритам	22
7 Отклањање пројективне дисторзије	24
7.1 Отклањање дисторзије механички	25
7.2 Отклањање дисторзије софтверски	27
8 Програм за отклањање дисторзије	28
8.1 Код	31
9 Закључак	38

Увод

Свеопшта дигитализација довела је до тога да обрада података помоћу рачунара буде саставни дио живота скоро сваког појединца. Обрада дигиталних фотографија, осим из забаве и ради личног задовољства, има бројне примјене. На примјер, помоћу двије фотографије неког објекта, могуће је реконструисати негов положај и димензије.

Са развојем рачунарске графике, расте и потреба за ефикаснијим методама обраде фотографија. Одговори и рјешења за сва питања у рачунарству и програмирању налазе се у различитим математичким дисциплинама. Конкретно, обрада фотографија и цијела област рачунарског вида темељи се на геометрији, а централно мјесто заузима пројективна геометрија.

Тродимензионални свијет посматран кроз објектив губи читаву једну димензију и зато су предмети у даљини све мањи и мањи, паралелност се губи, немогуће је измјерити дужину и сл. Ипак, пројективна геометрија може да одгонетне и објасни много тога. Тема рада је отклањање пројективне дисторзије. То подразумијева извијесно „исправљање“ дијела фотографије како би она изгледала вјеродостојније.

Прве двије главе представљају увод и мотивацију за рад. Ту је објашњено шта је то пројективна дисторзија и шта је математички модел фотоапарата (камере).

Трећа и четврта глава су посвећене пројективној геометрији и пројективним пресликањима равни. Затим су детаљно описаны неки алгоритми за одређивање пројективног пресликања.

Седма глава даје објашњење како је могуће отклонити пројективну дисторзију (механички и софтверски), док је на самом крају изложен код програма који отклања ову врсту дисторзије са произвољне фотографије.

Овом приликом желим да се захвалим свом ментору, проф. др Срђану Вукмировићу и члановима комисије, др Тијани Шукиловић и др Весни Маринковић. Својим коментарима и сугестијама они су помогли при изради овог рада и учинили га љепшим и бољим.

1 Аберације на фотографијама

Приликом фотографисања могуће је да дође до неких нежељених резултата. Љубитељи фотографије сусрећу се са разним проблемима које произвођачи камера све успјешније превазилазе. Одступања онога што видимо од призора на фотографији називају се аберације (лат. *aberare* - одлутати) или дисторзије (лат. *distorsio* - искривљење, изопачење). Она углавном настају из оптичких разлога, нпр. због лоших или погрешно постављених сочива. Такве аберације се зато и називају оптичке аберације.

Неке од њих су:

- Хроматска аберација (дисторзија боја)
- Кома аберација
- Бураста дисторзија
- Јастучаста дисторзија.



(а) Бураста дисторзија



(б) Јастучаста дисторзија



(ц) Хроматска аберација

Слика 1: Примјери дисторзије на фотографијама (www.nikon.rs)

Хроматска и кома аберација настају због особина преламања сјеветлости док на бурасту и јастучасту дисторзију (радијалне дисторзије) утиче искључиво квалитет сочива. Примјери неких од споменутих аберација могу се видјети на слици 1.

Све ове неправилности могу да се отклоне софтверски или коришћењем посебних додатака. Осим тога, данас се производе довољно добри објективи да оптичке аберације на фотографијама буду у потпуности непримјетне.

1.1 Пројективна дисторзија

Осим оптичке, приликом фотографисања јавља се и пројективна дисторзија. Она нема везе са сочивима тј. оптиком. Настаје када сензор који прима свјетлосне зраке (или раније филм) није паралелан равни у којој се налази објекат који фотографишемо (слика 2).

Ова појава се озбиљно разматра још од ренесансе. У сликарству је од тада позната као преспектива. Примјећено је да се у људском видном пољу тродимензионални свијет који нас окружује не понаша по правилима еуклидске геометрије, већ предмети изгледају све мањи што су даљи од ока посматрача. Паралелне прве (нпр. шине) могу да се сијеку на хоризонту.

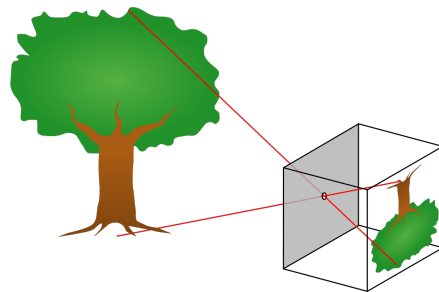


Слика 2: Примјер пројективне дисторзије. Правоугана плоча на фотографији нема облик правоугаоника.

Када фотографишемо неки објекат, а раван у којој се он налази није паралелна равни фотоапарата (сензора), жељена раван ће се на раван фотографије пресликати неким пројективним пресликањем. Дакле, да бисмо могли да говоримо о отклањању пројективне дисторзије, прво се морамо упознati са геометријом која објашњава њено настајање. Зато ће у наредним поглављима бити ријечи о централној пројекцији и пројективној геометрији.

2 Централна пројекција као модел фотоапарата

Још од давнина, људи су примјетили да у мрачној просторији може да се види слика неког предмета из спољашњости. То се дешава уколико кроз малу рупу унутра допиру свјетлосни зраци. Међутим, слика предмета пројектованог на тај начин је заротирана за 180° (тј. предмет видимо окренут наопачке) и доста нејасна (слика 3). Познато је да су то Кинези уочили још прије више од 3500 година. Касније је та просторија у Европи прозвана **камера опскура** (лат. *camera obscura* - мрачна соба). Претече данашње фотографије настале су управо захваљујући мрачној комори у којој су помоћу разних фотоосјетљивих супстанци забиљежени „отисци” спољног свијета.



Слика 3: Камера опскура (www.wikipedia.org)

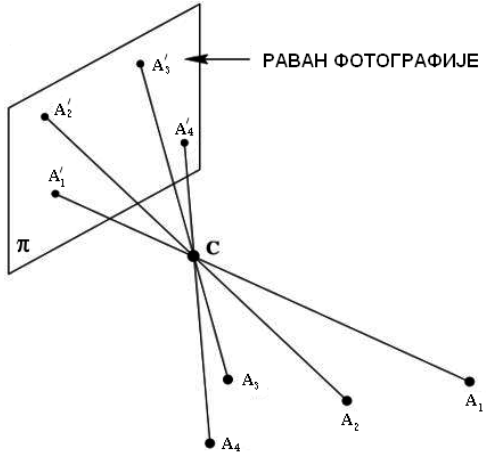
Овај феномен представља најједноставнији облик фотоапарата и назива се још и пинхол модел (*pinhole* - игличаста рупа). По том принципу функционишу и савремени фотоапарати само што је одавно мрачна кутија замијењена комплекснијом апаратуром, а уместо просте „рупице” свјетлост улази кроз читав низ посебно дизајнираних сочива, па је слика много јаснија и вјеродостојнија.

Сви фотоапарати, почев од камере опскуре па до данас, као и људско око, функционишу по једноставном математичком моделу. Посматрани предмет се на сензор (некада зид мрачне собе) преноси **централном пројекцијом** као што је приказано на слици 4.

Дефиниција 1. Нека је задата раван π и тачка C ван ње. **Централна пројекција** је пресликавање које сваку тачку простора $A \neq C$ слика у тачку A' равни π тако да важи $A' = \pi \times CA$. Тачка C назива се **центар пројекције**, а раван π **пројекцијска раван**.

Напомена 1. Симбол \times из претходне дефиниције је ознака за пресјек два геометријска објекта (у конкретном случају, пресјек праве и равни).

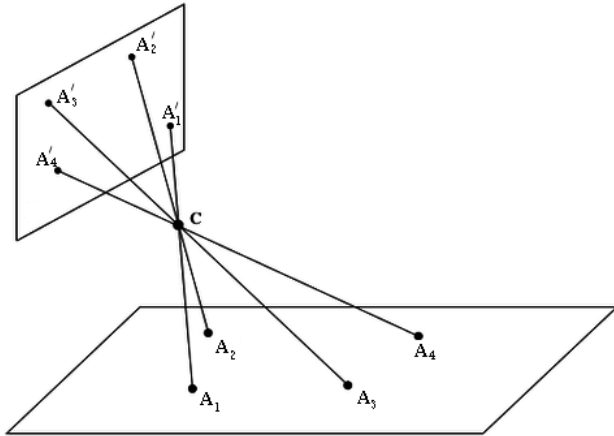
Централна пројекција није пројективно пресликавање, није чак ни бијекција. Међутим, у неким специјалним случајевима, она има све особине



Слика 4: Централна пројекција као модел фотоапарата (*Hartley R., Zisserman A.*)

пројективног пресликавања. Баш ти случајеви ће нам бити посебно значајни јер се пројективна дисторзија, као и њено отклањање, темељи управо на њима.

О пројективној геометрији и пројективним пресликавањима ће бити више ријечи у главама 3 и 4. Засад је довољно знати да су пројективна пресликавања бијекције које чувају колинеарност.

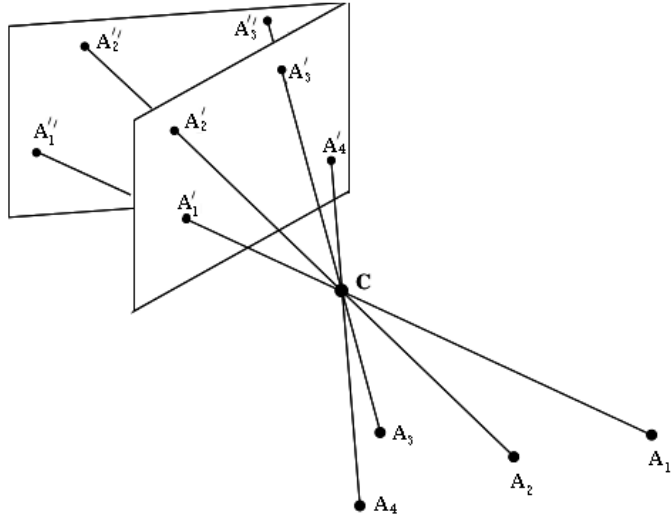


Слика 5: Централна пројекција једне равни (*Hartley R., Zisserman A.*)

Уколико посматрамо рестрикцију централне пројекције на једну раван

простора, то пресликавање јесте пројективно. Јединствено пројективно пресликавање повезује четири копланарне тачке простора и исте те тачке на фотографији (слика 5).

Такође, ако четири тачке простора (не морају бити копланарне) пресликавају се централном пројекцијом са истим центром на двије различите равни (слика 6), може се пронаћи пројективно пресликавање између тих слика.

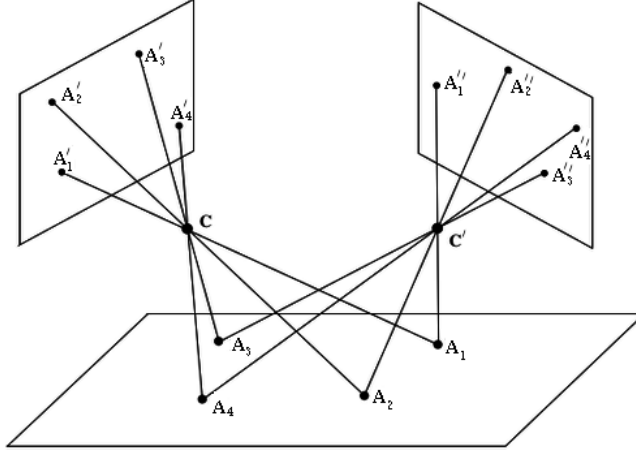


Слика 6: Двије централне пројекције са истим центром (*Hartley R., Zisserman A.*)

Ова чињеница се користи приликом прављења панорама. Центар фотаапарата се не мијења, прави се неколико фотографија док ротирајемо фотаапарат (тако да су пројекцијске равни различите). Зато се сваке двије сусједне фотографије могу надовезати помоћу пројективних пресликавања.

Чак и ако промијенимо центар централне пројекције (центар фотоапарата), али посматрамо тачке које јесу копланарне, између тако добијених слика поново постоји пројективно пресликавање (слика 7). Ово је последица чињенице да је композиција два пројективна пресликавања пројективно пресликавање.

Ове чињенице су значајне за компјутерски вид (енг. *computer vision*) јер је са пројективним пресликавањима много лакше радити него са централном пројекцијом.



Слика 7: Случај када се фотографише иста раван из два центра (Hartley R., Zisserman A.)

3 Геометрија пројективне равни

Како ће у овом раду бити ријечи о отклањању пројективне дисторзије, потребно је увести неке основне појмове пројективне геометрије.

Пројективну раван можемо да схватимо на више начина. Један од њих је помоћу хомогених координата.

3.1 Хомогене координате

Дефиниција 2. *Реална пројективна раван* \mathbb{RP}^2 је скуп тачака облика $(x_1 : x_2 : x_3)$, где су x_1, x_2 и x_3 реални бројеви такви да нису истовремено сви нула. То јест,

$$\mathbb{RP}^2 = \{(x_1 : x_2 : x_3) \mid x_1, x_2, x_3 \in \mathbb{R}, x_1^2 + x_2^2 + x_3^2 \neq 0\}.$$

Дакле, тачке пројективне равни записујемо помоћу три координате. Тачки $A(x_1 : x_2 : x_3)$ одговара вектор $\vec{A} = (x_1, x_2, x_3)$ који зовемо **вектор представник** тачке A .

Праву пројективне равни представљамо једначином

$$p : ax_1 + bx_2 + cx_3 = 0.$$

Њене координате су уређена тројка $[a : b : c]$. Вектор $\vec{p} = (a, b, c)$ је вектор представник праве p .

Будући да $\vec{p} = (a, b, c)$ и $\vec{q} = (\alpha a, \alpha b, \alpha c), (\alpha \neq 0)$ представљају исти вектор, закључујемо да координате праве нису јединствене. Множењем координата скаларом различитим од нуле добићемо више представљања једне исте праве. Због тога ове координате називамо **хомогене координате**.

Аналогно, све ово важи и за тачке, тј. тачку $A(x_1 : x_2 : x_3)$ можемо записати и као $A(\alpha x_1 : \alpha x_2 : \alpha x_3)$ при чему је α произвољан реалан број различит од нуле.

У проективној геометрији (као и у афиној и еуклидској), тачка A ће припадати правој p ако и само ако њене координате задовољавају једначину праве. Однос тачке и праве можемо испитати и помоћу њихових вектора представника (користећи скаларни производ) о чему говори следећа теорема.

Теорема 1. *Нека су \vec{p} и \vec{A} вектори представници праве p и тачке A , редом. Тачка A припада правој p ако и само ако важи*

$$\vec{p} \cdot \vec{A} = \vec{A} \cdot \vec{p} = 0. \quad (1)$$

Доказ. Нека је једначина праве $p : ax_1 + bx_2 + cx_3 = 0$, а тачка има координате $A(x : y : z)$. Дакле, вектори представнице су дати са $\vec{p} = (a, b, c)$, а $\vec{A} = (x, y, z)$. Тачка A ће припадати датој правој ако и само ако важи

$$ax + by + cz = 0.$$

Векторски записано, то је управо $\vec{p} \cdot \vec{A} = 0$. Такође важи и $\vec{p} \cdot \vec{A} = \vec{A} \cdot \vec{p}$ због комутативности скаларног производа. Јасно је да једнакост (1) не зависи од вектора представника јер је $(\alpha \vec{p}) \cdot (\beta \vec{A}) = \alpha \beta (\vec{p} \cdot \vec{A})$, тако да је тврђење доказано. \square

Користећи векторе представнике, можемо одредити праву која садржи двије задате тачке, као и пресјек двије праве.

Теорема 2. *Вектор представник праве p која садржи тачке A и B дат је са $\vec{p} = \vec{A} \times \vec{B}$.*

Напомена 2. Симбол \times је у овом случају ознака за векторски производ.

Доказ. (Геометријски) Права p садржи тачке A и B па мора да буде $\vec{p} \cdot \vec{A} = 0$ и $\vec{p} \cdot \vec{B} = 0$. То значи да је вектор \vec{p} нормалан и на вектор \vec{A} и на вектор \vec{B} . Зато \vec{p} је векторски производ вектора \vec{A} и \vec{B} . \square

Доказ. (Алгебарски) Тражимо вектор $\vec{p} = (a, b, c)$ за који важи

$$x_a a + y_a b + z_a c = 0 \quad (2)$$

$$x_b a + y_b b + z_b c = 0 \quad (3)$$

при чему је $\vec{A} = (x_a, y_a, z_a)$, а $\vec{B} = (x_b, y_b, z_b)$. Једначине (2) и (3) представљају услов да дате тачке припадају правој p . Када решимо систем (2)-(3) добићемо вектор \vec{p} , а самим тим и координате праве p . Систем има три непознате (a, b и c), а само двије једначине. Међутим, то није проблем

јер вектор представник праве (као и тачке) није јединствен.

Кренимо сада да рјешавамо систем.

$$\begin{array}{l} x_a a + y_a b + z_a c = 0 \\ x_b a + y_b b + z_b c = 0 \end{array} \left[\begin{array}{c} -\frac{x_b}{x_a} \\ + \end{array} \right]$$

$$\begin{array}{lll} x_a a + & y_a b + & z_a c = 0 \\ \left(y_b - \frac{x_b y_a}{x_a} \right) b + & \left(z_b - \frac{x_b z_a}{x_a} \right) c = 0 \end{array}$$

Одавде је лако израчунати да је $c = \frac{x_b y_a - x_a y_b}{x_a z_b - x_b z_a} \cdot b$. Затим се, уз мало рачуна, добије да је $a = \frac{y_b z_a - y_a z_b}{x_a z_b - x_b z_a} \cdot b$. Тако смо нашли читаву класу вектора представника праве p : $\vec{p} = \left(\frac{y_b z_a - y_a z_b}{x_a z_b - x_b z_a} \cdot b, b, \frac{x_b y_a - x_a y_b}{x_a z_b - x_b z_a} \cdot b \right)$, $b \in \mathbb{R}$. Фиксирањем било ког реалног броја b , добићемо један вектор представник наше праве. Згодно је узети $b = x_b z_a - x_a z_b$. Тада права p има координате $[y_a z_b - y_b z_a : x_b z_a - x_a z_b : x_a y_b - x_b y_a]$.

Са друге стране, израчунајмо шта је векторски производ $\vec{A} \times \vec{B}$.

$$\begin{vmatrix} i & j & k \\ x_a & y_a & z_a \\ x_b & y_b & z_b \end{vmatrix} = (y_a z_b - y_b z_a)i + (x_b z_a - x_a z_b)j + (x_a y_b - x_b y_a)k$$

Дакле, $\vec{A} \times \vec{B} = (y_a z_b - y_b z_a, x_b z_a - x_a z_b, x_a y_b - x_b y_a)$, а то јесте вектор представник праве p . Из свега наведеног слиједи да је $\vec{p} = \vec{A} \times \vec{B}$, што је требало доказати. \square

На исти начин може се доказати и следећа теорема.

Теорема 3. *Нека су вектори \vec{p} и \vec{q} вектори представници правих p и q редом. Нека је A тачка пресека ових правих. Тада важи: $\vec{A} = \vec{p} \times \vec{q}$.*

Напомена 3. *Из наведене теореме се јасно види зашто се иста ознака користи за векторски производ и пресек геометријских објеката.*

Сада знамо да нађемо пресек правих и праву одређену двијема тачкама користећи векторски производ. Оно што је важно примјетити (као последицу претходне теореме) је да се у пројективној равни сваке двије праве сијеку.

3.2 Проширена афина раван

Хомогеним координатама можемо представити и тачке афине равни. На примјер, тачка $A(x, y)$ има хомогене координате $A(x : y : 1)$, али одговара јој и било која уређена тројка $(x_1 : x_2 : x_3)$ за коју важи да је $x = \frac{x_1}{x_3}$ и $y = \frac{x_2}{x_3}$. Права у афиној равни

$$p : ax + by + c = 0$$

има хомогене координате $[a : b : c]$.

Примјер 1. Дата је права $p : 3x + 2y - 2 = 0$ и тачка $A(0, 1)$ у афиној равни. Наћи њихове хомогене координате и показати да тачка A припада правој p .

Решење. Права p има хомогене координате $[3 : 2 : -2]$, а тачка A $(0 : 1 : 1)$. Пошто је $3 \cdot 0 + 2 \cdot 1 + (-2) \cdot 1 = 0$, дата тачка припада правој p . \triangle

Јасно је да свакој тачки афине равни одговара нека тачка пројективне равни (исто важи и за праве), али обрнуто не важи. Пројективних тачака има више. Пројективне тачке облика $X(x_1 : x_2 : 0)$ не могу да се запишу афиним координатама. Њих називамо **бесконачно далеке тачке**. Све оне припадају истој пројективној равни $p : x_3 = 0$ (правој са координатама $[0 : 0 : 1]$). Називамо је **бесконачно далека права**. Као ни тачке од којих је сачињена, ни њу не можемо представити у афиној равни.

Примјер 2. Одредити пресјек правих $p : x_1 - x_3 = 0$ и $q : x_1 + 2x_3 = 0$.

Решење. Пресјек правих у пројективној равни одређујемо помоћу векторског производа њихових вектора представника. $\vec{p} = (1, 0, -1)$, а $\vec{q} = (1, 0, 2)$.

$$\begin{vmatrix} i & j & k \\ 1 & 0 & -1 \\ 1 & 0 & 2 \end{vmatrix} = 0 \cdot i - 3 \cdot j + 0 \cdot k$$

Дакле, праве p и q сијеку се у тачки A чији је вектор представник $\vec{A} = (0, -3, 0)$, тј. $A(0 : -3 : 0)$.

Ако посматрамо дате праве у афиној равни, јасно је да су оне паралелне (обје су паралелне y оси).

$$p : x = 1$$

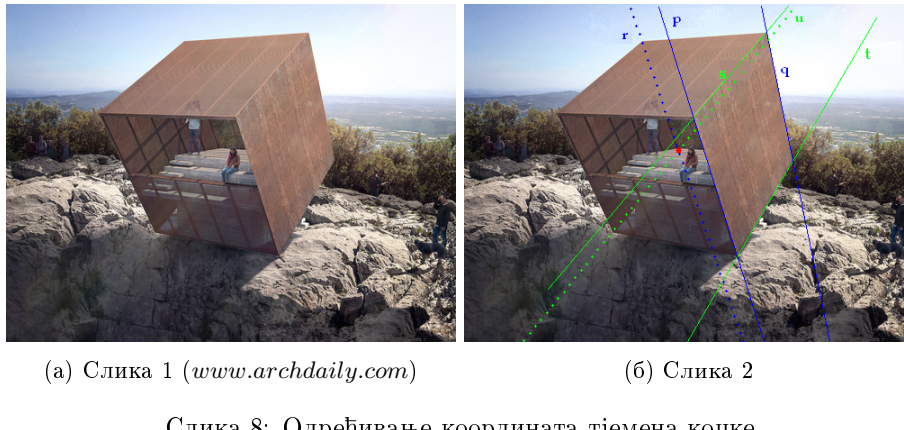
$$q : x = -2$$

Значи, њихов пресјек у афиној равни не постоји, али у проширену афину равни, то је бесконачно далека тачка $A(0 : -3 : 0)$. \triangle

Сада можемо замислити афину раван и једну издвојену праву која јој не припада (бесконачно далека права). То је још један начин да разумијемо пројективну раван: као проширену афину раван. Ипак, у проширену афину равни, бесконачно далеке тачке су другачије, издвојене, док су у пројективној равни све тачке (као и праве) равноправне.

Примјер 3. Одређивање непознатог тјемена.

Понекад је потребно да знамо координате тјемена неке фигуре које се на фотографији не види. На примјер, то је корисно при 3D реконструисању објекта помоћу фотографија. На слици 8 (а) приказана је коцка којој се једно тјеме не види (заклоњено је остатком коцке). Уколико је потребно да знамо координате тог тјемена, можемо их одредити уз помоћ закона који важе у пројективној геометрији.



Слика 8: Одређивање координата тјемена коцке

Слика 8 (б) представља илустрацију идеје на који начин то можемо урадити. Назовимо плаве линије p и q , зелене s и t , непознату плаву линију r , а зелену u . Хомогене координате правих p, q, s и t лако је израчунати јер видимо тјемена коцке која их одређују (па самим тим можемо да очитамо њихове координате), а користећи векторски производ. У конкретном случају (слика 8), те координате су следеће:

$$p[154 : -48 : -33222]$$

$$q[143 : -29 : -47149]$$

$$s[95 : 81 : -34431]$$

$$t[106 : 62 : -49478].$$

До рјешења ћемо доћи захваљујући чињеници да се праве p , q и r сијеку у истој тачки јер су у стварности паралелне (да су којим случајем биле паралелне и на фотографији свакако би се сјекле у истој бесконачно далекој тачки). Пресјек правих p и q налазимо као векторски производ њихових вектора представника.

$$\vec{p} \times \vec{q} = \vec{A} = (-1299714, -2510200, -2398)$$

Како сада знамо координате двије тачке праве r (тачка A и једно тјеме коцке које се види), добијамо и њене координате.

$$r[2411882 : -827308 : -441221126]$$

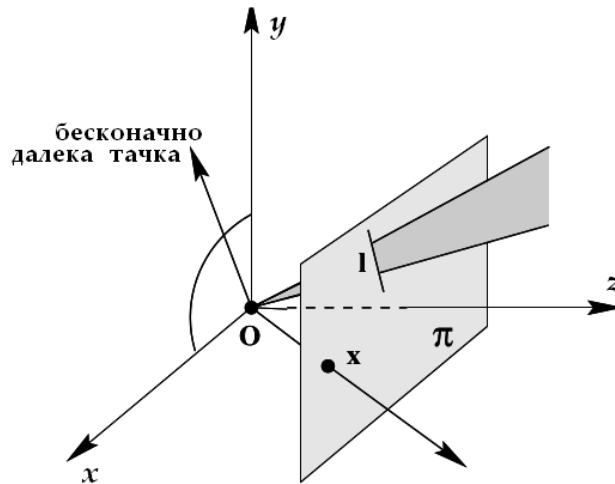
На исти начин добијамо и координате праве u .
 $u[-1732812 : -1430852 : 646186724]$

Тражена тачка M је пресек правих r и u и има координате $M(238 : 162 : 1)$, тј. на фотографији јој одговара пиксел са координатама $(238, 162)$.

Напомена 4. *Будућу да све наведено важи и за тачке и праве у еуклидској равни, умјесто израза „проширења афине раван”, може се користити и „проширења еуклидска раван”.*

3.3 Скуп правих и равни у еуклидском простору

Будући да тачке у пројективној равни записујемо помоћу три координате, можемо да их замисљамо и као прамен правих простора \mathbb{R}^3 које пролазе кроз координатни почетак (слика 9). Тада би праве пројективне равни могле да се виде као равни простора \mathbb{R}^3 које садрже координатни почетак. Раван $x_3 = 0$, тј. O_xO_y раван, представља бесконачно далекоу праву, а све праве које јој припадају бесконачно далеке тачке.



Слика 9: Праве и равни еуклидског простора као модел тачака и правих пројективне равни (Hartley R., Zisserman A.)

3.4 Аксиоматски приступ

Пројективна раван може се увести и схватити и чисто аксиоматски. Пројективна раван је одређена само условима да двије тачке одређују тачно једну праву и да се сваке двије праве сијеку у јединственој тачки (то је

главна разлика у односу на еуклидску раван). Потребно је још само обезбиједити да буде недегенерисана. Зато се уводи и аксиома која каже да постоје четири тачке у општем положају (видети дефиницију 4).

Иако на први поглед дјелује да оваквим заснивањем ништа није речено и прецизирено, ове три аксиоме потпуно дефинишу пројективну раван о којој је било ријечи у претходним поглављима.

4 Пројективна пресликања равни

Дефиниција 3. *Пројективно пресликање је бијекција пројективне равни \mathbb{RP}^2 на себе (или неку другу пројективну раван) при чему се колinearne тачке сликају у колinearne тачке.*

Зато се може представити помоћу 3×3 матрице P која је регуларна, тј. $\det(P) \neq 0$. Тачка $A(x_1 : x_2 : x_3)$ слика се у тачку $A'(x'_1 : x'_2 : x'_3)$ на следећи начин:

$$\lambda \begin{pmatrix} x'_1 \\ x'_2 \\ x'_3 \end{pmatrix} = \begin{pmatrix} p_{11} & p_{12} & p_{13} \\ p_{21} & p_{22} & p_{23} \\ p_{31} & p_{32} & p_{33} \end{pmatrix} \begin{pmatrix} x_1 \\ x_2 \\ x_3 \end{pmatrix} \quad (4)$$

што краће записујемо $\lambda A' = PA$. При томе је $\lambda \in \mathbb{R} \setminus \{0\}$ произвољан број који указује на то да су координате хомогене.

Будући да су пројективна пресликања једнозначно одређена регуларним 3×3 матрицама, јасно је да она чине групу у односу на операцију композиције пресликања (јер матрице које их одређују чине групу у односу на множење матрица). Због тога знамо и да је композиција два пројективна пресликања пројективно пресликање.

Пошто је пројективно пресликање P бијекција, увијек постоји инверзно пресликање Q чија је матрица $Q = P^{-1}$. Тако да важи $\lambda A = Q A'$.

Пројективним пресликањем (помоћу његове матрице) можемо пресликати и праве пројективне равни. Уколико тачка A припада правој p ($A \in p$), важиће и $A' \in p'$, при чему је A' слика тачке A , p' слика праве p при пресликању P .

Значи, $A' = PA$. Знамо да је $A^T p = 0$ (јер A припада правој p) као и да важи $(A')^T p' = 0$. Одавде имамо да је

$$0 = A^T p = (P^{-1} A')^T p = (A')^T (P^{-1})^T p.$$

Дакле, $p' = (P^{-1})^T p$, што је формула пресликања праве.

Због хомогености, матрица P и λP дефинишу исто пресликање. То значи да је само осам елемената матрице P независно. Пошто вектор представник тачке има два међусобно независна елемента, сlijеди да су потребна четири паре тачака да бисмо одредили матрицу пројективног пресликања.

Дефиниција 4. Четири тачке пројективне равни су у општем положају ако међу њима не постоји ни једна тројка колинеарних тачака.

Теорема 4. (Основна теорема пројективне геометрије) Постоји пројективно пресликавање F које четири тачке A, B, C, D које су у општем положају слика редом у тачке A', B', C' и D' (такође у општем положају).

Доказ. Доказаћемо прво да постоји пројективно пресликавање које слика базне тачке $A_0(1 : 0 : 0), B_0(0 : 1 : 0), C_0(0 : 0 : 1), D_0(1 : 1 : 1)$ у четири дате тачке $A(a_1 : a_2 : a_3), B(b_1 : b_2 : b_3), C(c_1 : c_2 : c_3)$ и $D(d_1 : d_2 : d_3)$. Нека су α, β и γ реални бројеви различити од нуле такви да важи

$$D = \alpha A + \beta B + \gamma C.$$

Овакви бројеви постоје јер су дате тачке у општем положају па су и свака три вектора представника међусобно линеарно независна. Тражено пресликавање P има матрицу $P = (\alpha A \quad \beta B \quad \gamma C)$.

Заиста,

$$PA_0 = \begin{pmatrix} \alpha a_1 & \beta b_1 & \gamma c_1 \\ \alpha a_2 & \beta b_2 & \gamma c_2 \\ \alpha a_3 & \beta b_3 & \gamma c_3 \end{pmatrix} \begin{pmatrix} 1 \\ 0 \\ 0 \end{pmatrix} = \begin{pmatrix} \alpha a_1 \\ \alpha a_2 \\ \alpha a_3 \end{pmatrix} = \alpha \begin{pmatrix} a_1 \\ a_2 \\ a_3 \end{pmatrix}.$$

Дакле, A јесте слика базне тачке A_0 .

Слично се покаже и да су B и C слике тачака B_0 и C_0 редом.

Проверимо сада шта је слика тачке D_0 .

$$\begin{pmatrix} \alpha a_1 & \beta b_1 & \gamma c_1 \\ \alpha a_2 & \beta b_2 & \gamma c_2 \\ \alpha a_3 & \beta b_3 & \gamma c_3 \end{pmatrix} \begin{pmatrix} 1 \\ 1 \\ 1 \end{pmatrix} = \begin{pmatrix} \alpha a_1 + \beta b_1 + \gamma c_1 \\ \alpha a_2 + \beta b_2 + \gamma c_2 \\ \alpha a_3 + \beta b_3 + \gamma c_3 \end{pmatrix} = \begin{pmatrix} d_1 \\ d_2 \\ d_3 \end{pmatrix}$$

На исти начин можемо да пронађемо пресликавање Q које базне тачке слика у A', B', C' и D' редом.

Конечно, тражено пресликавање F је композиција пресликавања P^{-1} и Q , а његова матрица једнака је QP^{-1} . \square

Примјер 4. Одредити слику квадрата $ABCD$ при пројективном пресликавању задатом матрицом $P = \begin{pmatrix} 2 & 0 & 0 \\ 0 & 2 & 0 \\ 0 & 1 & 1 \end{pmatrix}$. Тјемена квадрата имају следеће координате: $A(0, 1), B(0, 0), C(1, 0), D(1, 1)$.

Решење. Да бисмо одредили слику квадрата, довољно је пресликати његова тјемена. Зато их је потребно представи хомогеним координатама. Потражимо прво слику тачке A .

$$\begin{pmatrix} 2 & 0 & 0 \\ 0 & 2 & 0 \\ 0 & 1 & 1 \end{pmatrix} \begin{pmatrix} 0 \\ 1 \\ 1 \end{pmatrix} = \begin{pmatrix} 0 \\ 2 \\ 2 \end{pmatrix}$$

Сада зnamо да је њена слика тачка $A'(0 : 2 : 2) = (0 : 1 : 1)$. Значи, тачка A се пресликала у себе. Лако се добије да исто важи за тачке B и D . Њихове слике су оне саме: $B'(0 : 0 : 1)$, а $D'(1 : 1 : 1)$. Слика тачке C биће $C'(2 : 0 : 1)$. Дакле, квадрат $ABCD$ се пресликао у правоугли трапез $A'B'C'D'$. \triangle

Из датог примјера се види да пројективна пресликања не чувају дужине нити углове (што је случај са еуклидским), па чак ни паралелност. Једине инваријантне пројективних пресликања су колинеарност и конкурентност. Слика квадрата може бити трапез (или било који друго четвороугао), а произвољан четвороугао се може пресликати у квадрат.

5 Афина пресликања

Као што је већ напоменуто, пројективна пресликања чине групу. Афина пресликања су подгупа ове групе. Дакле, свако афино пресликање може се представити као пројективно док обрнуто не важи.

У општем случају, афино пресликање је облика:

$$\begin{pmatrix} x' \\ y' \end{pmatrix} = \begin{pmatrix} a_{11} & a_{12} \\ a_{21} & a_{22} \end{pmatrix} \begin{pmatrix} x \\ y \end{pmatrix} + \begin{pmatrix} b_1 \\ b_2 \end{pmatrix}, \det(a_{ij}) \neq 0.$$

Њиме се тачка $M(x, y)$ слика у тачку $M'(x', y')$. Пресликање можемо записати и на следећи начин (краће):

$$M' = A \cdot M + b.$$

Колоне матрице A јесу слике базних вектора, а вектор колона b је слика координатног почетка.

Приказано у хомогеним координатама, афино пресликање изгледа овако:

$$\lambda \begin{pmatrix} x'_1 \\ x'_2 \\ x'_3 \end{pmatrix} = \begin{pmatrix} a_{11} & a_{12} & b_1 \\ a_{21} & a_{22} & b_2 \\ 0 & 0 & 1 \end{pmatrix} \begin{pmatrix} x_1 \\ x_2 \\ x_3 \end{pmatrix}. \quad (5)$$

Теорема 5. Нека је пројективно пресликање P задато својом матрицом

$$P = \begin{pmatrix} p_{11} & p_{12} & p_{13} \\ p_{21} & p_{22} & p_{23} \\ p_{31} & p_{32} & p_{33} \end{pmatrix}. \quad (6)$$

Права p одређена последњом врстом матрице P ($p[p_{31} : p_{32} : p_{33}]$) се слика у бесконачно далекоу праву $x'_3 = 0$.

Решење. Једначина праве p је $p_{31}x_1 + p_{32}x_2 + p_{33}x_3 = 0$, а из формуле пресликања (4) имамо да важи:

$$x'_3 = p_{31}x_1 + p_{32}x_2 + p_{33}x_3.$$

Дакле, за све тачке $A(x_1 : x_2 : x_3)$ које припадају правој p трећа координата слике A' биће једнака нули, тј. $x'_3 = 0$. То значи да се свака тачка праве p слика у бесконачно далекој тачки па се права p слика у бесконачно далекој праву $x'_3 = 0$. \triangle

Аналогно се доказује и обрат овог тврђења: да права која се пројективним пресликањем (6) слика у бесконачно далекој праву има координате $[p_{31} : p_{32} : p_{33}]$.

Из свега наведеног и једначине (5) закључујемо да су афина пресликања заправо подгрупа пројективних пресликања која бесконачно далекој праву $x_3 = 0$ сликају у њу саму.

Веза између пројективних и афиних пресликања је важна јер подаци са којима радимо (нпр. пиксели приликом обраде дигиталних фотографија) ријетко кад имају хомогене координате.

Зато је добро што можемо да преводимо координате из афиних у хомогене и обрнуто као и да користимо пресликања која су у том тренутку подеснија (афина или пројективна).

Афина пресликања (за разлику од пројективних) чувају паралелност, тј. паралелне праве се њима сликају у паралелне праве. Тако је слика квадрата при афином пресликању увијек паралелограм (али зато не мора бити правоугли). Важи и да се за свака два троугла може наћи афино пресликање (тим прије пројективно) које слика један у други.

6 Алгоритми за одређивање пројективног пресликања

Због саме теме овог рада (а и уопште у рачунарској графици) одређивање пројективног пресликања заузима кључно мјесто. Постоји више алгоритама помоћу којих долазимо до матрице пројективног пресликања. Пошто је пројективно пресликање одређено са четири паре тачака, природно је да постоји алгоритам који се базира на овој чињеници.

6.1 Наивни алгоритам

Основни и најинтуитивнији алгоритам за одређивање пројективног пресликања назива се наивни алгоритам.

Идеја је да функција прими четири паре тачака у општем положају (оригинали и слике), а као излаз врати матрицу пресликања које је њима одређено. Како основна теорема пројективне геометрије тврди да постоји овакво пресликање, њен доказ јесте алгоритам за проналажење истог.

Наивни алгоритам:

1. Сваку од унијетих тачака представити помоћу хомогених координата
2. За тачке A, B, C и D (оригинали) пронаћи реалне бројеве α, β и γ тако да важи

$$D = \alpha A + \beta B + \gamma C \quad (7)$$

3. Формирати матрицу $P = (\alpha A \quad \beta B \quad \gamma C)$
4. За тачке A', B', C' и D' (слике) пронаћи реалне бројеве α', β' и γ' тако да важи $D' = \alpha' A' + \beta' B' + \gamma' C'$
5. Формирати матрицу $Q = (\alpha' A' \quad \beta' B' \quad \gamma' C')$
6. Излазна матрица има облик QP^{-1} .

Да овај алгоритам даје жељени резултат, гарантује нам доказ теореме 4. Једино остаје питање: како најлакше пронаћи бројеве α, β и γ (на исти начин се проналазе и α', β' и γ')? Наравно, можемо решити систем једначина (Гаусовом методом или помоћу детерминанти), али је у већини програмских језика далеко једноставније користити матрице и њихове особине. Из једначине (7) видимо да важи

$$D = \begin{pmatrix} d_1 \\ d_2 \\ d_3 \end{pmatrix} = \begin{pmatrix} a_1 & b_1 & c_1 \\ a_2 & b_2 & c_2 \\ a_3 & b_3 & c_3 \end{pmatrix} \begin{pmatrix} \alpha \\ \beta \\ \gamma \end{pmatrix}.$$

Дакле, вектор колона која садржи тражене коефицијенте се добија на следећи начин:

$$\begin{pmatrix} \alpha \\ \beta \\ \gamma \end{pmatrix} = M^{-1} \begin{pmatrix} d_1 \\ d_2 \\ d_3 \end{pmatrix}$$

где је $M = \begin{pmatrix} a_1 & b_1 & c_1 \\ a_2 & b_2 & c_2 \\ a_3 & b_3 & c_3 \end{pmatrix}$ матрица чије су колоне хомогене координате тачака A, B и C .

6.2 DLT алгоритам

Некада, из практичних разлога, користимо више од четири паре тачака за одређивање пројективног пресликавања.

То суштински значи да треба да решимо предетерминисани систем (систем који има више једначина него непознатих). Мала је вјероватноћа да су тачке које користимо изабране довољно прецизно и да сви парови (оригинали и слике) дефинишу једно исто пројективно пресликавање. Заправо, у пракси најчешће и нису, тј. $\lambda A'_i \neq PA_i$ за свако $i = 1, \dots, n$. Зато се

користе различите методе које приближно (најбоље могуће) дају рјешење траженог система.

Дакле, непознати су елементи матрице пројективног пресликања (њих девет, од којих је осам независно), а имамо више од четири паре тачака што значи више од осам једначина које треба да буду задовољене. Једно од рјешења овог проблема даје *DLT* алгоритам (енг. *direct linear transformation*) који се непосредно ослања на *SVD* декомпозицију матрице. Следеће тврђење игра важну улогу у разумијевању овог алгоритма.

Теорема 6. *Нека су $A(x_1 : x_2 : x_3)$ и $A'(x'_1 : x'_2 : x'_3)$, $x'_3 \neq 0$ одговарајуће тачке пројективног пресликања равни чија је матрица $P = (p_{ij})$. Тада вектор $(p_{11}, p_{12}, p_{13}, p_{21}, p_{22}, p_{23}, p_{31}, p_{32}, p_{33})$ задовољава хомогени систем ранга 2 чија је матрица:*

$$\begin{pmatrix} 0 & 0 & 0 & -x'_3 x_1 & -x'_3 x_2 & -x'_3 x_3 & x'_2 x_1 & x'_2 x_2 & x'_2 x_3 \\ x'_3 x_1 & x'_3 x_2 & x'_3 x_3 & 0 & 0 & 0 & -x'_1 x_1 & -x'_1 x_2 & -x'_1 x_3 \end{pmatrix}. \quad (8)$$

Доказ теореме може се пронаћи у презентацији [1].

Матрицу (8) краће записујемо $\begin{pmatrix} 0^T & -x'_3 A^T & x'_2 A^T \\ x'_3 A^T & 0^T & -x'_1 A^T \end{pmatrix}$.

Када ово знамо, елементе матрице пресликања добићемо као рјешење система одређеног паровима тачака које користимо. Они ће образовати матрицу

$$M = \begin{pmatrix} M_1 \\ M_2 \\ \vdots \\ M_n \end{pmatrix}. \quad (9)$$

При томе је

$$M_i = \begin{pmatrix} 0^T & -x'_{i3} A_i^T & x'_{i2} A_i^T \\ x'_{i3} A_i^T & 0^T & -x'_{i1} A_i^T \end{pmatrix}$$

матрица одређена једном коресподенцијом $A_i \leftrightarrow A'_i$. Међутим, као што је већ наглашено, у пракси овај систем често нема рјешење (осим нула рјешења). Зато се у *DLT* алгоритму користи *SVD* декомпозиција матрице која алгебарским методама даје вектор најприближнији рјешењу.

6.2.1 SVD декомпозиција матрице

SVD декомпозиција (енг. *singular value decomposition*) је разлагање произвољне матрице на производ три матрице које имају специфична својства. Наиме, важи следеће:

Нека је M матрица формата $n \times m$. Тада постоји јединствено представљање

$$M = UDV^T.$$

При томе је U матрица формата $n \times m$, V ортогонална матрица формата $m \times m$, а D дијагонална матрица формата $m \times m$ и њене дијагоналне вриједности су позитивне и сортиране опадајуће. Додатно, U је таква да важи $\|Ux\| = \|x\|$ за произвољан вектор x .

Ова декомпозиција има бројне примјене, а између остalog користи се и за одређивање приближног рјешења система линеарних једначина.

У овом конкретном случају, за одређивање матрице P пројективног пресликања, потребно је одредити рјешење система

$$M \begin{pmatrix} p_{11} \\ p_{12} \\ p_{13} \\ p_{21} \\ p_{22} \\ p_{23} \\ p_{31} \\ p_{32} \\ p_{33} \end{pmatrix} = 0 \quad (10)$$

или краће $Mp = 0$, где је M матрица задата једначином (9). Нула вектор јесте рјешење, али није од важности у овом случају (нула матрица не одређује ни једно пројективно пресликање). Систем може да има јединствено рјешење, али (као што је већ речено) то углавном није случај. Тада покушавамо да нађемо приближно рјешење система. Питање остаје шта значи то „приближно“?

Алгебарски посматрано, то би било рјешење за које је норма вектора Mp најмања, тј. тражићемо p за које функција $\|Mp\|$ достиже минимум.

Вектор колону p чине елементи матрице пројективног пресликања. Самим тим, скалирање не утиче на резултат (p и λp дефинисаће исто пресликање). Зато можемо сматрати да важи $\|p\| = 1$.

Захваљујући SVD декомпозицији, матрицу M можемо записати као UDV^T . Тада проблем одређивања минимума постаје знатно лакши. Пошто је $\|UDV^T p\| = \|DV^T p\|$, $\|Mp\| = \|DV^T p\|$. Означимо $x = V^T p$. Како важи $\|V^T p\| = \|p\| = 1$ (V је ортогонална), добијамо да је $\|x\| = 1$.

Остаје да нађемо x за које се достиже минимум $\|Dx\|$. Међутим, D је дијагонална матрица са опадајућим дијагоналним вриједностима, па тражени минимум задовољава вектор

$$x = (0 \ 0 \ 0 \ 0 \ 0 \ 0 \ 0 \ 1)^T.$$

Матрица V је ортогонална и зато, да би важило $V^T p = x$, p мора да буде последња колона матрице V .

Дакле, рјешење p које минимизује алгебарску грешку система (10) је последња колона матрице V ($M = UDV^T$).

6.2.2 Алгоритам

DLT алгоритам прима n парова тачака као улаз, а као излаз враћа матрицу пројективног пресликавања.

DLT алгоритам:

1. Сваку од унијетих тачака представити помоћу хомогених координата
2. За сваки пар (оригинал и слика) одредити 2×9 матрицу (8)
3. Од тако добијених матрица формирати матрицу M формата $2n \times 9$. То је матрица система који рјешавамо
4. Одредити *SVD* декомпозицију матрице M
5. Од последње колоне матрице V направити матрицу формата 3×3 . То је матрица P траженог пројективног пресликавања.

6.2.3 Алгебарска и геометријска грешка

DLT алгоритам није геометријске природе. Он је направљен тако да смањи алгебарску грешку (тј. норму $\|Mp\|$) при рјешавању предетерминисаног система.

Свака од кореспонденција $A_i \leftrightarrow A'_i$ које користимо за одређивање пројективног пресликавања (ако има више од четири паре тачака) доприноси порасту грешке рјешења које ћемо добити. Зато свакој кореспонденцији одговара вектор парцијалне грешке ϵ_i . Норма овог вектора назива се **алгебарско растојање**.

$$d_{alg}(A'_i, PA_i)^2 = \|\epsilon_i\|^2 = \left\| \begin{pmatrix} 0^T & -x'_{i3}A_i^T & x'_{i2}A_i^T \\ x'_{i3}A_i^T & 0^T & -x'_{i1}A_i^T \end{pmatrix} p \right\|^2$$

Парцијалне грешке доприносе **алгебарској грешци** система чији је вектор $\epsilon = Mp$.

$$\sum_i d_{alg}(A'_i, PA_i)^2 = \sum_i \|\epsilon_i\|^2 = \|Mp\|^2 = \|\epsilon\|^2$$

Будући да се бавимо геометријским проблемом, може се поставити питање зашто је *DLT* алгоритам направљен тако да минимизује алгебарско, а не геометријско растојање. Ипак, испоставља се да методе које смањују алгебарску грешку, уз одговарајуће нормализације, дају веома добро рјешење. Осим тога, велика предност је што се њима добија јединствено рјешење, а сами алгоритми су ефикасни (мале сложености). На пример, алгоритам који одређује *SVD* декомпозицију матрице за потребе *DLT* алгоритма (тј. када није неопходно израчунати матрицу U) је линеарне сложености.

Додатно, алгебарска и геометријска грешка су на извијестан начин повезане што није тешко израчунати. Геометријска грешка представља збир квадрата растојања свих парова тачака (A'_i, PA_i). Дакле, она износи

$$\sum_i d(A'_i, PA_i)^2.$$

Означимо са A'_i и \tilde{A}'_i дату слику тачке и слику тачке добијене пресликањем P које је резултат DLT алгоритма ($\tilde{A}'_i = PA_i$), редом.

Тада је

$$\begin{aligned} d_{alg}(A'_i, \tilde{A}'_i) &= \left\| \begin{pmatrix} 0^T & -x'_{i3} A_i^T & x'_{i2} A_i^T \\ x'_{i3} A_i^T & 0^T & -x'_{i1} A_i^T \end{pmatrix} p \right\| = \left\| \begin{pmatrix} -x'_{i3} \tilde{x}'_{i2} + x'_{i2} \tilde{x}'_{i3} \\ x'_{i3} \tilde{x}'_{i1} - x'_{i1} \tilde{x}'_{i3} \end{pmatrix} \right\| = \\ &= \sqrt{(-x'_{i3} \tilde{x}'_{i2} + x'_{i2} \tilde{x}'_{i3})^2 + (x'_{i3} \tilde{x}'_{i1} - x'_{i1} \tilde{x}'_{i3})^2}. \end{aligned} \quad (11)$$

Са друге стране, геометријско растојање дато је са:

$$d(A'_i, \tilde{A}'_i) = \sqrt{\left(\frac{x'_{i1}}{x'_{i3}} - \frac{\tilde{x}'_{i1}}{\tilde{x}'_{i3}} \right)^2 + \left(\frac{x'_{i2}}{x'_{i3}} - \frac{\tilde{x}'_{i2}}{\tilde{x}'_{i3}} \right)^2}. \quad (12)$$

Примјетимо да смо хомогене координате морали записати као еуклидске (афине) да бисмо израчунали еуклидско растојање.

Из једначина (11) и (12) добијамо везу геометријског и алгебарског растојања.

$$d(A'_i, \tilde{A}'_i) = d_{alg}(A'_i, \tilde{A}'_i) / (x'_{i3} \tilde{x}'_{i3})$$

Ова два растојања биће једнака ако је $x'_{i3} = \tilde{x}'_{i3} = 1$. Можемо претпоставити да је $x'_{i3} = 1$ јер је то уобичајено представљање тачке (која није бесконачно далека). Са друге стране, \tilde{x}'_{i3} биће једнако 1 ако је пресликање облика

$$P = \begin{pmatrix} p_{11} & p_{12} & p_{13} \\ p_{21} & p_{22} & p_{23} \\ 0 & 0 & 1 \end{pmatrix}.$$

Дакле, у случају афиних пресликања равни, алгебарска грешка једнака је геометријској јер је испуњен услов $x'_{i3} = \tilde{x}'_{i3} = 1$.

6.2.4 Нормализовани DLT алгоритам

Важна карактеристика сваког алгоритма је његово понашање при малој промјени улазних величина. У случају одређивања пројективног пресликања поставља се питање: шта ће се додогодити ако се на неки начин промјене тачке које користимо? На примјер, ако посматрамо исте тачке или у другом координатном систему. Или ако примјенимо неку пројективну трансформацију на улазне парове тачака. Било би добро када би матрице добијене DLT алгоритмом прије и након неке од наведених промјена биле исте или бар на неки начин повезане. Међутим, то није случај. DLT алгоритам биће инваријантан у односу на избор тачака једино ако се претходно

уради нормализација истих.

Алгоритам за нормализацију тачака је следећи:

1. Израчунати тежиште система тачака (афино)
2. Транслирати тежиште у координатни почетак (матрицу транслације означимо са G)
3. Примјенити хомотетију тако да просјечна удаљеност тачке од координатног почетка буде $\sqrt{2}$ (матрицу хомотетије означимо са S)
4. Матрица $T = SG$ је матрица нормализације тачака.

Осим што чини DLT алгоритам стабилнијим, нормализација тачака смањује и нумеричку грешку која се јавља приликом рачуна.

Дакле, уместо DLT алгоритма, можемо користити и нормализовани DLT алгоритам који има извесне предности:

1. Одредити матрицу T нормализације тачака (оригинали)
2. Одредити матрицу T' нормализације тачака (слике)
3. Нормализовати оригиналне тачке $\bar{A}_i = TA_i$, $i = 1, \dots, n$
4. Нормализовати слике тачака $\bar{A}'_i = T'A'_i$, $i = 1, \dots, n$
5. Одредити DLT алгоритмом матрицу \bar{P} користећи нормализоване тачке \bar{A}_i и \bar{A}'_i
6. Матрица траженог пресликавања добија се као $P = T'^{-1}\bar{P}T$.

Важно је напоменути да, уколико су улаз тачно четири паре тачака, DLT и нормализовани DLT алгоритам дају исти резултат као наивни алгоритам. У том случају је матрица пројективног пресликавања P једнозначно одређена тим паровима тачака. То јест, важи $\lambda A'_i = PA_i$ за свако $i \in \{1, 2, 3, 4\}$.

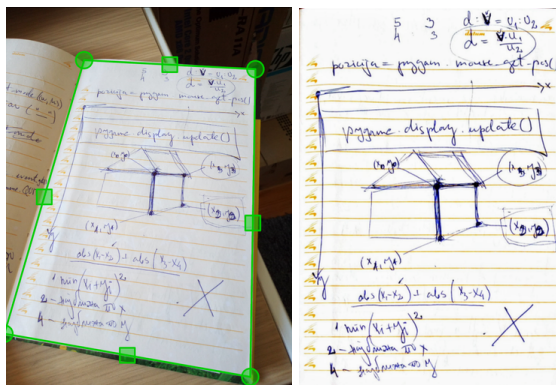
7 Отклањање пројективне дисторзије

Као што је већ речено, пројективна дисторзија настаје када оса фотоапарата није нормална на раван коју фотографијемо. То се дешава због непрецизности фотографа, али и из оправданых разлога. На пример, да не би дошло до пројективне дисторзије када фотографијемо високу грађевину, било би неопходно да се значајно удаљимо од ње, што некада није могуће (слика 10). Неопходно је мало искосити фотоапарат да би цијела грађевина била на фотографији и тада изгледа да се она сужава од дна ка врху (жабља перспектива). У архитектури ово често представља незанемарљив проблем и неопходно је отклонити пројективну дисторзију са фотографије (ако већ није могуће направити фотографију без дисторзије).



Слика 10: Примјер пројекти-
вне дисторзије (*Оливера Жи-
вановића*)

Отклањање пројективне дисторзије користе и апликације на мобилним телефонима које служе за „скенирање“ документа, тј. превођење фотографија направљених мобилним телефоном у pdf фајл (слика 11). Између осталих модификација које изврше на фотографији, обавезно је и отклањање дисторзије да би документ заиста имао облик правоугаоника (као у стварности).

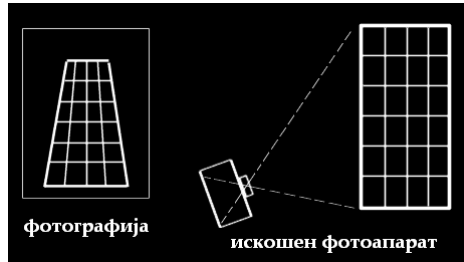


Слика 11: Мобилни скенери

Ове мобилне апликације отклањају пројективну дисторзију софтверски. Међутим, могуће је и механички отклонити ову врсту дисторзије. Тачније, постоји посебна фото-опрема која служи да до пројективне дисторзије уопште и не дође.

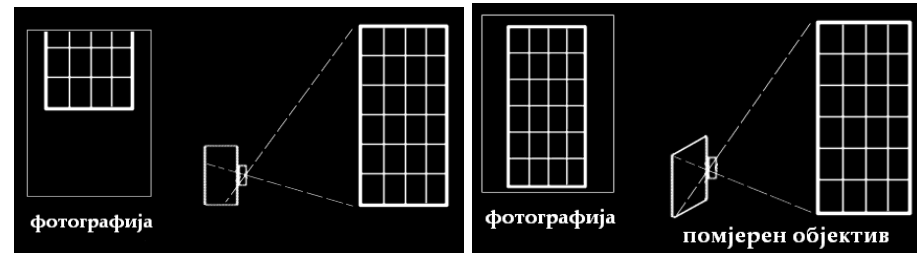
7.1 Отклањање дисторзије механички

Вратимо се на проблем због кога је и осмишљен начин за механичко отклањање пројективне дисторзије.



Слика 12: Како настаје пројективна дисторзија (www.f-stop.com)

Потребно је фотографисати грађевину значајно вишу од нас. Када бисмо се доволно удаљили од ње, све би било добро и фотографија би одговарала стварности, али то најчеше није могуће. Широкугаони објективи су од велике помоћи. Захваљујући њима, могуће је фотографисати цијелу грађевину иако стојимо јако близу ње. Ипак, углавно је потребно мало нагнути фотоапарат уназад. Тада оса апарата више неће бити нормална на предњу фасаду и грађевина ће на фотографији бити мање или више деформисана, јавиће се пројективна дисторзија (слика 12).



(a) Непотпуна фотографија

(b) Фотографија без дисторзије

Слика 13: Отклањање дисторзије механички
(www.f-stop.com)

Ако покушамо да избегнемо појаву дисторзије, на фотографији ће бити видљив само приземни дио зграде (слика 13 (а)).

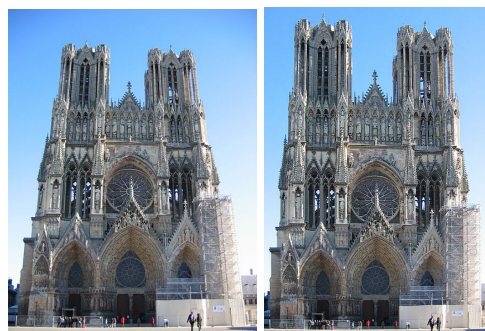
Било би идеално, када бисмо могли да подигнемо објектив, а да раван сензора остане паралелна равни грађевине коју фотографишемо. Баш то и јесте механичко рјешење за ову врсту дисторзије (слика 13 (б)).

Још од средине прошлог вијека, производиоци фото-опреме су креирали објективе који су могли да се помјерају на одређене начине. Најприје је *Nikon* пласирао објектив који може да отклони пројективну дисторзију јер има могућност помјерања горе-доље (енгл. *shift lens*). Већ 1973. године *Canon* прави објектив који може и да се помјера и ротира (енг. *tilt – shift lenses*). Ротација објектива помаже код истовременог фокусирања објеката који су на различитом одстојању од фотоапарата. Ови објективи називају



Слика 14: *Shift* објектив и *view* фотоапарат (www.f-stop.com)

се још и *PC* објективи од енглеског *perspective correction*. Осим њих, постоје фотоапарати (*large format view camera*) којима посебан објектив није потребан јер имају могућност помјерања и ротирања равни у којој се налази сензор (енг. *film plane*). *PC* објектив и *view* фотоапарат приказани су на слици 14.



(a) Обичан објектив (б) *PC* објектив

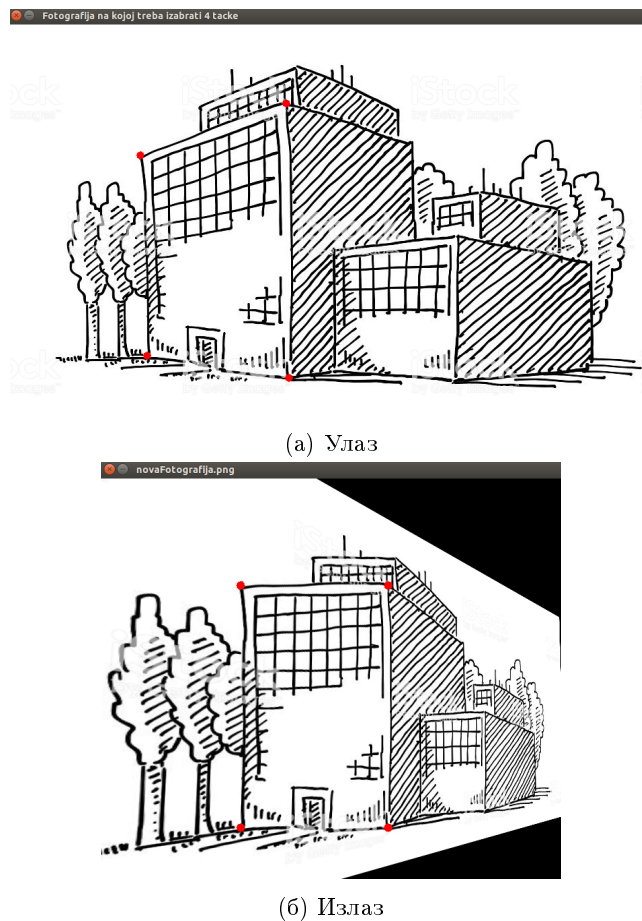
Слика 15: Фотографија са и без дисторзије (www.wikipedia.org)

Примјер фотографије снимљене без *PC* објектива и истог призора фотографисаног уз коришћење овог објектива може се видјети на слици 15.

7.2 Отклањање дисторзије софтверски

Пројективна дисторзија са дигиталних фотографија може се уклонити и софтверски. Програм се заснива на пројективној геометрији или прецизније, пројективном пресликању.

Фотографија и одређена раван простора који смо фотографисали су повезани јединственим пројективним пресликањем. То је последица чињенице да је централна пројекција једне равни пројективно пресликање (слика 5, глава 2). Дакле, проблем се своди на следеће: потребно је одредити ово пресликање и онда њиме пиксел по пиксел пресликати дигиталну фотографију. Тако добијамо фотографију без дисторзије.



Слика 16: Отклањање дисторзије софтверски (коришћена слика је преузета са www.istockphoto.com)

Остаје још само питање како одредити потребно пројективно пресликање.

Довољно је на фотографији изабрати четири тачке које у стварности представљају правоугаоник. На фотографији оне одређују неки произвољан четвороугао. Тих осам тачака (тјемена четвороугла на фотографији и правоугаоника у стварности) једнозначно одређују пројективно пресликавање. Наивни алгоритам описује поступак како од ових тачака добијамо матрицу пресликавања. Такође, потребна је и одговарајућа функција која одређује координате тјемена правоугаоника. Ту можемо искористити и однос дужине и ширине истог у стварности (нпр. ако се ради о некој грађевини, овај однос је познат).

Уколико се из неког разлога користи више од четири паре тачака, пројективно пресликавање се може одредити помоћу *DLT* алгоритма или, још боље, нормализованог *DLT* алгоритма.

Остаје још пресликати сваки пиксел (у хомогеним координатама јер је матрица пресликавања увијек формата 3×3) и тако формирати нову фотографију. Међутим, у пракси се не ради тако већ управо супротно. За сваки пиксел нове фотографије (коју креирамо) тражимо пиксел који му одговара на улазној фотографији. То се постиже уз помоћ инверза добијеног пројективног пресликавања. Инверз ће увијек постојати јер су пројективна пресликавања бијекције. Дакле, користи се такозвано обрнуто мапирање (енг. *reverse pixel mapping*). Оно је погодно јер има одређене предности у односу на директно мапирање. Наме, приликом директног пресликавања пиксела, добијене координате не морају увијек бити цјелобројне вриједности (а координате пиксела јесу цјелобројне). Због тога на излазној фотографији може бити необојених пиксела, разних преклапања и неправилности. Међутим, када се користи обрнуто мапирање, до тога не долази. Боји се један по један пиксел излазне фотографије. Ако одређеном пикселу одговара неки са координатама у децималном запису (који заправо не постоји) на улазној фотографији, врши се интерполација боја сусједних пиксела и тако добијаовољно добар резултат.

Јасно је да се приликом отклањања пројективне дисторзије на овај начин губи на квалитету фотографије, али је та мана занемарљива у односу на велику примјену и корист коју софтверско отклањање дисторзије пружа. Са друге стране, механичко отклањање дисторзије не утиче на квалитет фотографије јер се дисторзија отклони прије фотографисања.

8 Програм за отклањање дисторзије

У овом поглављу дат је код програма који отклања пројективну дисторзију. Код је писан у програмском језику Python.

Када се програм покрене, отвара се Pygame прозор са фотографијом са које откањамо дисторзију. Корисник само треба да изабере четири тачке у општем положају које у стварности образују правоугаоник (а на фотографији, због пројективне дисторзије, неки произвољан четвороугао). Програм затим изгенерише и прикаже фотографију на којој је пројективна дисторзија отклоњена, тј. изабране тачке на излазној фотографији су заиста

тјемена правоугаоника.

У коду је коришћен наивни алгоритам за одређивање пројективног пресликавања. Иако је имплементиран и *DLT* алгоритам, наивни је илустративнији због своје геометријске природе. Програм пореди резултате ова два алгоритма и може се видјети да они дају исту матрицу пројективног пресликавања. Разлика може да се појави тек у шестој децимали (слика 17).

```
user@Makina:~/Desktop/Master$ python otklanjanjeDistorzije.py
[[ 2.49067236e+00 -2.62100896e-02 -1.97841694e+02]
 [ 1.00383777e+00  1.71136237e+00 -3.05805887e+02]
 [ 2.44324191e-03 -6.31568424e-05  1.00000000e+00]]

[[ 2.49067235e+00 -2.62100883e-02 -1.97841705e+02]
 [ 1.00383782e+00  1.71136248e+00 -3.05805878e+02]
 [ 2.44324189e-03 -6.31568400e-05  1.00000000e+00]]
user@Makina:~/Desktop/Master$ █
```

Слика 17: Резултат наивног и *DLT* алгоритма (за четири паре тачака)

У библиотеци OpenCV-Python, која служи специјално за проблеме компјутерског вида, постоји функција `cv2.getPerspectiveTransform()` која рачуна матрицу пројективног пресликавања за унијете координате четири паре тачака. Ова функција даје исту матрицу пресликавања као и функција `naivniAlgoritam()` која је коришћена у овом програму.

OpenCV нуди и функцију `cv2.warpPerspective()` која за фотографију и матрицу (улаз) прави фотографију која је слика улазне при датом пресликавању. Ова функција није коришћена у програму да би се нагласила важност обрнутог мапирања. Међутим, ни процес пресликавања пиксела није обављен у потпуности. То би подразумијевало и одабир и имплементацију интерполације које ће најбоље одредити боју пиксела који немају конкретан оригинал. Зато је, након одређивања координата пиксела помоћу инверза матрице пресликавања, употребљена угађена функција `cv2.remap()` која трансформише улазну фотографију помоћу мапе пресликаних пиксела. Унутар те функције обављају се све потребне интерполације и апроксимације.

Резултат рада овог програма може се видјети на слици 16.

Што се тиче времена потребног за рачунање матрице пројективног пресликавања, *DLT* је унеколико бржи од наивног алгоритма, док најбољи резултат даје функција `cv2.getPerspectiveTransform()`. Али све док се ради са четири паре тачака, о тој разлици нема потребе водити рачуна. На слици 18 се види да се и после примјене алгоритама 1000 пута, не уштеди више од 0,67 секунди.

```

user@Makina:~/Desktop/Master$ python mjerjenjeVremena.py

DLT algoritam se izvrsi za 0.000982999801636 sekundi
Naivni algoritam se izvrsi za 0.00077486038208 sekundi
Ugradjena funkcija cv2.getPerspectiveTransform se izvrsi za 0.000107049942017 sekundi

user@Makina:~/Desktop/Master$ python mjerjenjeVremena1000Cetvorki.py

DLT algoritam se 1000 puta izvrsi za 0.547763347626 sekundi
Naivni algoritam se 1000 puta izvrsi za 0.712215662003 sekundi
Ugradjena funkcija cv2.getPerspectiveTransform se 1000 puta izvrsi za 0.0497312545776 sekundi

```

Слика 18: Поређење времена извршавања алгоритама

Може се показати и колика је грешка *DLT* алгоритма примјењеног на више од четири паре тачака. На слици 19 су приказане матрице добијене наивним алгоритмом (који прима четири паре тачака) и *DLT* алгоритмом (који је радио са још додатна четири паре).

```

user@Makina:~/Desktop/Master$ python dlt8parova1.py

[[ 2.74839616e+00 -2.09614020e-02 -2.42809402e+02]
 [ 1.11482334e+00  1.89127445e+00 -3.51486084e+02]
 [ 2.77290307e-03  3.35132318e-05  1.00000000e+00]]

[[ 2.41208499e+00 -1.31049497e-01 -1.64630822e+02]
 [ 9.45711340e-01  1.56227884e+00 -2.70173874e+02]
 [ 2.42086531e-03 -2.88641734e-04  1.00000000e+00]]

```

Слика 19: Матрице добијене наивним и *DLT* алгоритмом

Иако *DLT* алгоритам прави одређену грешку, она не утиче драстично на отклањање пројективне дисторзије што се може видjetи на слици 20.



Слика 20: Излазна фотографија при употреби наивног (лијево) и *DLT* алгоритма који прима осам парова тачака (десно)

У наставку слиједи поменути код.

8.1 Код

```
#Zbog položaja fotoaparata u odnosu na ono sto fotografisemo
nekada dolazi do nastajanja projektivne distorzije. Npr. list
papira pravougaonog oblika na fotografiji može da ima oblik
trapeza. Ova distorzija može da se otkloni softverski. Sledeci
kod definise program koji radi upravo to. Na pocetku se ucitava
proizvoljna fotografija. Korisnik bira tjemena cetvorougla
koji je u stvarnosti pravougaonik, ali je na fotografiji
deformisan. Program pronalazi matricu projektivnog
preslikavanja koje će izabrani cetvorougao vratiti u
pravougaonik. Zatim se pronadjeno preslikavanje primjenjuje na
pocetnu fotografiju. Tacnije, koristi se inverzno preslikavanje
(slika pravougaonik u cetvorougao) da za svaki piksel nove
fotografije pronađe onaj koji joj odgovara na fotografiji koji
obradujujemo. Krajnji izlaz je nova fotografija na kojoj je
uklonjena projektivna distorzija.
```

```
import pygame
from pygame.locals import *
import array
import cv2
import numpy
import numpy as np
from numpy import matrix
from numpy.linalg import inv
```

```

#Funkcija koja mijenja mesta dva clana i u x i u y-nizu. Tj.
    mijenja mesta dvije tacke.
def zamijeni(x,y,i,j):

    pom1 = x[i]
    pom2 = y[i]
    x[i] = x[j]
    y[i] = y[j]
    x[j] = pom1
    y[j] = pom2


#Korisnik moze da izabere tjemena redom kojim on zeli. Ova funkcija
    ih sortira: gornje lijevo tjeme je prvo (x_0,y_0), a ostala
    idu redom u direktnom smjeru. Ovdje je bitno kako izgleda
    koordinatni sistem pygame prozora. Pocetak (0,0) je gornji
    lijevi ugao. Desno je pozitivan smjer x-ose, a dolje pozitivan
    smjer y-ose.
def poredjajTacke(x,y):

    if x[1] + y[1] < x[0] + y[0]:
        zamijeni(x,y,0,1)
    if x[2] + y[2] < x[0] + y[0]:
        zamijeni(x,y,0,2)
    if x[3] + y[3] < x[0] + y[0]:
        zamijeni(x,y,0,3)
    if x[2] < x[1]:
        zamijeni(x,y,2,1)
    if x[3] < x[1]:
        zamijeni(x,y,3,1)
    if y[3] > y[2]:
        zamijeni(x,y,2,3)

#Ova funkcija odredjuje dimenzije pravougaonika u koji ce biti
    preslikan izabrani cetvorougao.
def dimenzije(x,y):

    duzina = (abs(x[0]-x[3]) + abs(x[1]-x[2]))/2
    visina = (abs(y[0]-y[1]) + abs(y[3]-y[2]))/2

    return duzina, visina

#Funkcija koja odredjuje koordinate tjemena pravougaonika.
def pronadjiSlike(x,y):

    d, v = dimenzije(x,y)

    pom = (x[1] + x[0])/2
    x[0] = pom

    pom = (y[3] + y[0])/2
    y[0] = pom

```

```

x[1] = x[0]
y[1] = y[0] + v
x[2] = x[0] + d
y[2] = y[1]
x[3] = x[2]
y[3] = y[0]

#Algoritam koji pronalazi matricu projektivnog preslikavanja (Data
#su cetiri para tacaka). Radi isto sto i ugradjena funkcija cv2.
#getPerspectiveTransform(). Ideja je pronaci preslikavanje
#baznih tacaka u "originale" i preslikavanje baznih tacaka u
#"slike". Preslikavanje "originala" u "slike" je neka vrsta
#kompozicije ova dva preslikavanja.
def nainviAlgoritam(originali, slike):

    P1 = preslikavanjeBaznihTacaka(originali)
    P2 = preslikavanjeBaznihTacaka(slike)

    M = P2*inv(P1)
    M = M/M[2,2]

    return M

#Funkcija koja projektivno preslikava cetiri bazne tacke u cetiri
#zadate tacke.
def preslikavanjeBaznihTacaka(tacke):

    #pravljene homogenih koordinata za zadate tacke
    a1 = numpy.append(tacke[0], 1)
    b1 = numpy.append(tacke[1], 1)
    c1 = numpy.append(tacke[2], 1)
    d1 = numpy.append(tacke[3], 1)

    #bazne tacke
    a = np.array([1, 0, 0])
    b = np.array([0, 1, 0])
    c = np.array([0, 0, 1])
    d = np.array([1, 1, 1])

    #Odredjivanje preslikavanja. Trazimo matricu P za koju vazi: Pa =
    #k_1a_1, Pb = k_2b_1, Pc = k_3c_1 i Pd = k_4d_1 pri cemu su k_i
    #realni koeficijenti. Odakle slijedi da (bazne tacke su tako i
    #izabrane) prva kolona matrice P ima oblik k_1a_1, druga k_2b_1,
    #a treca k_3c_1. Sada samo treba naci k_1, k_2 i k_3. To nije
    #problem jer imamo i cetvrtu tacku - d_1. Posto je Pd = d_1
    #(mozemo uzeti da je k_4=1) mora da vazi da je d_1 = k_1a_1 +
    #k_2b_1 + k_3c_1. Tj. d_1 = koef*A gdje je koef vektor kolona
    #(program je vidi kao matricu) koja sadrzi koeficijente, a A
    #matrica kojoj su kolone koordinate tacaka a_1, b_1 i c_1. sada
    #je lako naci koeficijente, a samim tim i matricu preslikavanja.
    A = np.matrix([a1, b1, c1]).transpose()

    koef = np.dot(inv(A), d1)

```

```

P = np.matrix([koef[0,0]*a1, koef[0,1]*b1, koef[0,2]*c1]).\
    transpose()

return P

def dltAlgoritam(originali, slike):

    #pravljenje homogenih koordinata za zadate tacke
    a = numpy.append(originali[0], 1)
    b = numpy.append(originali[1], 1)
    c = numpy.append(originali[2], 1)
    d = numpy.append(originali[3], 1)

    a1 = numpy.append(slike[0], 1)
    b1 = numpy.append(slike[1], 1)
    c1 = numpy.append(slike[2], 1)
    d1 = numpy.append(slike[3], 1)

    M = np.matrix([
        [0, 0, 0, -a[0], -a[1], -a[2], a1[1]*a[0], a1[1]*a[1], a1[1]*a[2]],
        [a[0], a[1], a[2], 0, 0, 0, -a1[0]*a[0], -a1[0]*a[1], -a1[0]*a[2]],
        [0, 0, 0, -b[0], -b[1], -b[2], b1[1]*b[0], b1[1]*b[1], b1[1]*b[2]],
        [b[0], b[1], b[2], 0, 0, 0, -b1[0]*b[0], -b1[0]*b[1], -b1[0]*b[2]],
        [0, 0, 0, -c[0], -c[1], -c[2], c1[1]*c[0], c1[1]*c[1], c1[1]*c[2]],
        [c[0], c[1], c[2], 0, 0, 0, -c1[0]*c[0], -c1[0]*c[1], -c1[0]*c[2]],
        [0, 0, 0, -d[0], -d[1], -d[2], d1[1]*d[0], d1[1]*d[1], d1[1]*d[2]],
        [d[0], d[1], d[2], 0, 0, 0, -d1[0]*d[0], -d1[0]*d[1], -d1[0]*d[2]],
    ])

    #SVD dekompozicija matrice M
    U, D, V = np.linalg.svd(M)

    #Poslednja kolona matrice V definishe trazheno projektivno
    #preslikavanje
    P = V[-1].reshape(3, 3).astype(np.float32)
    P = P/P[2,2]

return P

pygame.init()

# ucitavanje slike za pygame (najlaksi nacin da korisnik izabere
# tacke)

```

```

slika = pygame.image.load('zgrada2.jpeg')

#ucitavanje slike za OpenCV. Da bi se koristile funkcije cv2.remap
#() ili cv2.warpPerspective(), slika mora biti predstavljena kao
#numpy array
slika1 = cv2.imread('zgrada2.jpeg')

width = slika.get_width()
height = slika.get_height()

#pravljenje prozora koji ima sliku kao pozadini tako da korisnik
#moze klikom da izabere tjemena cetvorougla koji ce biti
#"ispravljen"
prozor = pygame.display.set_mode((width, height))
pygame.display.set_caption("Fotografija na kojoj treba izabrati 4
    tacke")
prozor.blit(slika, (0,0))

#pravljenje nizova u koji ce biti smjestene koordinate tacaka koje
#korisnik bira
run = True
i = 0
x = array.array('i', (0 for i in range(0,4)))
y = array.array('i', (0 for i in range(0,4)))

while run:

    #biranje i pamcenje koordinata piksela
    for dogadjaj in pygame.event.get():
        if dogadjaj.type == pygame.QUIT:
            run = False

        if dogadjaj.type == pygame.MOUSEBUTTONDOWN:
            pozicija = pygame.mouse.get_pos()

            pygame.draw.circle(prozor, [255, 0, 0], pozicija, 6, 0)
            pygame.display.update()

            x[i], y[i] = pozicija

            i = i+1

    if i == 4:    #ako su izabrane sve cetiri tacke:
        poredjajTacke(x,y)

        originali = np.float32([
            (x[0], y[0]),
            (x[1], y[1]),

```

```

        (x[2], y[2]),
        (x[3], y[3]),
    ])

pronadjiSlike(x,y)

slike = np.float32([
    (x[0], y[0]),
    (x[1], y[1]),
    (x[2], y[2]),
    (x[3], y[3]),
])
M = naivniAlgoritam(originali, slike)

#Poredjenje matrica koje su rezultat dlt i naivnog algoritma. Za
#cetiri para tacaka, matrice su identicne
print M
print dltAlgoritam(originali, slike)

M1 = inv(M) #ovo je matrica koja slika piksele nove
#fotografije u piksele fotografije koju smo ucitali

#Treba jos samo izgenerisati novu fotografiju uz pomoc
#dobjene matrice. To se moze uraditi pomocu ugradjene funkcije
#novaFotografija = cv2.warpPerspective(slikai, M, (width,
height), flags=cv2.INTER_LINEAR)
#cv2.imshow('novaFotografija', novaFotografija)

#Medjutim, nije tesko ni "rucno" preslikati sve piksele
#pravimo "mrezu" za matricu piksela
indY, indX = np.indices((height, width), dtype=np.float32)

#svaki piksel predstavimo homogenim koordinatama i stavimo ih
#u matricu tako da je jedan piksel jedna kolona
matricaPiksela = np.array([indX.ravel(), indY.ravel(), np.
ones_like(indX).ravel()])

preslikaniPikseli = M1.dot(matricaPiksela)

# dijelimo poslednjom koordinatom, tj. vracamo homogene
#koordinate u euklidske i pravimo dva niza piksela: x i y
#koordinata
mapX, mapY = preslikaniPikseli[:-1]/preslikaniPikseli[-1]

#ponovo vracamo u matricni oblik
mapX = mapX.reshape(height, width).astype(np.float32)
mapY = mapY.reshape(height, width).astype(np.float32)

novaFotografija = cv2.remap(slikai, mapX, mapY, cv2.

```

```
INTER_LINEAR)

cv2.circle(novaFotografija, (x[0],y[0]), 6, (0,0,255), -1)
cv2.circle(novaFotografija, (x[1],y[1]), 6, (0,0,255), -1)
cv2.circle(novaFotografija, (x[2],y[2]), 6, (0,0,255), -1)
cv2.circle(novaFotografija, (x[3],y[3]), 6, (0,0,255), -1)
cv2.imshow('novaFotografija.png', novaFotografija)

cv2.waitKey(0)
cv2.destroyAllWindows()
run = False

pygame.display.update()

pygame.quit()
```

9 Закључак

Као што се у раду могло прочитати, пројективна дисторзија настаје као последица централног пројектовања тродимензионалних објеката на раван фотографије. За туристе и фотографе аматере, она не представља никакав проблем. Међутим постоје ситуације када ју је неопходно отклонити.

То је могуће учинити на два начина: механички и софтверски.

Механичко отклањање као резултат има фотографију већег квалитета, али се постиже захваљујући посебним фотоапаратима или објективима.

Ако је фотографија већ направљена са дисторзијом, може да се софтверски обради и уклони дисторзија, али се тада губи на квалитету фотографије.

Софтверско отклањање дисторзије темељи се на резултатима пројективне геометрије. Идеја је пронаћи пројективно пресликање које повезује објекат какав видимо на фотографији (често мало искривљен) и исти тај објекат у стварности.

Постоји више алгоритама за проналажење пројективног пресликања. У раду су изложени наивни и *DLT* алгоритам. Наивни алгоритам је чисто геометријске природе. Прима четири паре тачака (јер тачно толико парова јединствено одређује пројективно пресликање) и даје потпуно тачан резултат.

За разлику од наивног, *DLT* алгоритам је алгебарске природе. Његова предност је у томе што може да одреди пресликање и ако су дата више од четири паре тачака, али самим тим, јавља се одређена грешка. За отклањање дисторзије, ова грешка не прави примјетан проблем (што је и приказано у раду), али ради веће прецизности, може се извршити нормализација *DLT* алгоритма.

Да би се јасно разумјела изложена тема, потребно је познавање основа пројективне геометрије. Заинтересовани за ову област највише детаља могу пронаћи у књизи [3].

Литература

- [1] Вукмировић С., Примена пројективне геометрије у рачунарству, Презентација са предавања на Математичком факултету, Београд, 2018.
- [2] Freifeld O., Methods in computer vision, Презентација, Ben-Gurion University of the Negev, Биршеба, 2017.
- [3] Hartley R., Zisserman A., Multiple View Geometry in Computer Vision Second Edition, Cambridge University Press, 2003.
- [4] Birchfield S., An Introduction to Projective Geometry (for computer vision)
- [5] Андрејић В., Пројективна геометрија равни, Математички факултет, Београд, 2016.

Електронски извори:

- [6] www.f-stop.com
- [7] www.wikipedia.org
- [8] steemit.com
- [9] www.nikon.rs